

مولد فرایند ورود پوآسون زمان متغیر

غلامحسین شاهکار^۱

حامدرضا طارقیان^۲

چکیده

فرایند پوآسون اغلب فرایندهای قابل قبول برای نحوه‌ی ورود است. با این وجود پذیره‌ی ثابت بودن نرخ ورود نسبت به زمان، همیشه برقرار نیست. در این مقاله با استفاده از روش تبدیل معکوس، مولد فرایند پوآسون زمان متغیر را با تابع نرخ ورود قطعه به قطعه خطی پیوسته تولید می‌کنیم. تابع نرخ ورود قطعه به قطعه خطی پیوسته شامل نرخ ورود قطعه به قطعه ثابت نیز هست، اما نسبت به تابع نرخ ورود ثابت انعطاف‌پذیرتر است؛ هر چند نیاز به محاسبات بیشتری دارد. روش تبدیل معکوس برای تولید مولد نرخ ورود قطعه به قطعه خطی پیوسته، نه تنها از کارایی لازم برخوردار است، بلکه با روش‌های استقرایی کاهش واریانس نیز سازگاری دارد.

۱ مقدمه

تحت شرایط مختلف پذیرفت (مثالاً [۱] و [۲] را بینید). در یک فرایند ورود پوآسونی با میانگین λ ، فاصله زمانی ورود، بر توزیع نمایی با میانگین $1/\lambda$ مبنی است. در شبیه‌سازی سیستمهای در زمان ورود متقاضی جاری تعیین می‌شود. به این ترتیب که

فرایند ورود، یکی از اجزای مهم در شبیه‌سازی سیستمهای گستته است. مدلی که به منظور شبیه‌سازی الگوی ورود مورد استفاده قرار می‌گیرد، باید انطباق نزدیکی با نحوه‌ی ورود در سیستم واقعی داشته باشد [۶]. فرایند ورود پوآسونی غالباً مدل مناسبی برای نحوه‌ی ورود است و می‌توان آن را

^۱ دکتر غلامحسین شاهکار، گروه آمار دانشکده علوم ریاضی، دانشگاه فردوسی مشهد

^۲ حامدرضا طارقیان، گروه آمار دانشکده علوم ریاضی، دانشگاه فردوسی مشهد

می‌کنند [۵]. تولید ورودی با استفاده از روش پذیرش یا رد ساده، سریع و قابل اجرا با توابع دلخواه نرخ ورود است. این روش به صورتهای مختلف تعیین یافته است [۹].

روش تبدیل معکوس الزاماً عملکرد کنتری ندارد، علاوه بر این در مقایسه با روش پذیرش یا رد، سازگاری بیشتری با تکنیکهای استقرایی کاهش واریانس دارد [۲]. اما تابع نرخ ورود در این روش دارای محدودیت‌هایی است. براتلی، فاکس، و شارچ برای تغییرات نرخ قطعه به قطعه ثابت، یک مولد تبدیل معکوس ارایه داده‌اند [۲]. در این مقاله تابع قطعه به قطعه خطی کلی‌تری را در نظر می‌گیریم.

۲ روش

فرض کنید برای یک فرایند پوآسون زمان متغیر $(t) \lambda$ نرخ آنی ورود در زمان t باشد. همان طور که شکل ۱ نشان می‌دهد امید ریاضی تعداد مراجعین در بازه‌ی زمانی (t_{i-1}, t_i) برابر است با

$$\Lambda(t_{i-1}, t_i) = \int_{t_{i-1}}^{t_i} \lambda(t) dt, \quad (1)$$

اگر t_{i-1} زمان ورود یک متقاضی باشد، آنگاه می‌خواهیم زمان ورود متقاضی بعدی، T_i را با استفاده از روش تبدیل معکوس تولید کنیم. تابع توزیع تجمعی T_i به شرط t_{i-1} را می‌توان به صورت زیر نوشت

$$\begin{aligned} F_{T_i | T_{i-1}}(t_i) &= Pr\{T_i \leq t_i | T_i > t_{i-1}\} \\ &= 1 - Pr\{T_i > t_i | T_i > t_{i-1}\} \end{aligned}$$

که در آن $\{T_i > t_i | T_i > t_{i-1}\}$ احتمال عدم مراجعت در بازه‌ی زمانی (t_{i-1}, t_i) است.

چون فرایند ورود را پوآسون فرض کرده‌ایم، داریم

$$F_{T_i | T_{i-1}}(t_i) = 1 - \exp[-\Lambda(t_{i-1}, t_i)]. \quad (2)$$

حال می‌توان T_i را با قرار دادن

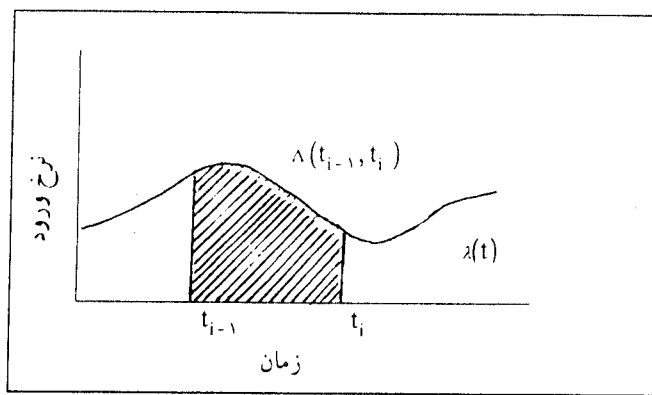
$$F_{T_i | T_{i-1}}(t_i) = u \quad (3)$$

از توزیع مناسب فاصله زمانی ورود نمونه‌ای گرفته و آن را با زمان شبیه‌سازی جاری جمع می‌کنند. حاصل جمع، زمان ورود متقاضی بعدی را به سیستم نشان می‌دهد [۸]. این روش با فرض عدم تغییر توزیع فاصله زمانی ورود نسبت به زمان، قابل قبول است. اما چنانچه توزیع فرایند ورود پرسنلی نباشد و یا نرخ ورود، تابع سایر متغیرهای سیستم باشد، در این صورت مشکلات دیگری در فرایند ورود به وجود می‌آید [۹].

هر چند در این مقاله فرض معقول بودن ورود پوآسونی را پذیرفته‌ایم، اما فرض کرده‌ایم که نرخ ورود با گذشت زمان تغییر می‌کند. مثلاً، هر چند مراجعه‌ی متقاضیان را به یک فروشگاه در یک دوره‌ی زمانی، کوتاه، می‌توان پوآسونی فرض کرد، اما باید اذعان نمود که نرخ ورود در طول روز ثابت نمی‌ماند. چنین فرایندی را فرایند پوآسون ناهمگن، یا فرایند پوآسون نامانا و یا فرایند پوآسون زمان متغیر می‌نامند [۹]. برای شناخت انگیزه‌های استفاده از فرایند پوآسون نامانا (ناهمگن) برای نحوه‌ی ورود در برخی از سیستمها و همچنین برای آشنایی با برخی از روش‌های تولید ورود پوآسون زمان متغیر، [۲] را ببینید.

روشهایی که به منظور تولید فرایند ورودی پوآسون زمان متغیر به کار گرفته می‌شوند، غالباً شامل استفاده از چندین منبع ورود که هر یک متناظر با اوقات مختلف روز، و یا استفاده از توزیع‌های مختلف برای فواصل زمانی متفاوت است. این روش‌ها در بهترین صورت خود تقریبی‌اند. برخی از مشکلات آماری استفاده از چنین روشهایی، در [۴] بحث شده است. از آن جاکه عموماً این روشها سرعت چندانی نداشته و فرایندهایی با خواص نامعلوم تولید می‌کنند، لذا روشهای دقیق بر آنها برتری دارند.

روشهای دقیق، تولید فرایند ورود پوآسونی، زمان متغیر، شامل استفاده از روش پذیرش یا رد و روش تبدیل معکوس است [۵]. در روش اول از فرایند پوآسون دیگری برای تولید ورود، و قبول یا رد آن به موجب تابع نرخ زمان متغیر استفاده



شکل ۱: نرخ ورود زمان متغیر

معادله‌ی (۴) می‌توان نوشت

$$u = 1 - \exp[-(a_k / 2)(t_i^2 - t_{i-1}^2) - b_k(t_i - t_{i-1})]$$

و برای $a_k \neq 0$ به دست می‌آوریم

$$\begin{aligned} t_i &= (-b_k + \sqrt{b_k^2 + a_k^2 t_{i-1}^2 + 2a_k b_k t_{i-1}} \\ &- 2a_k \ln(1-u)) / a_k \end{aligned}$$

برای $a_k = 0$ ، نرخ ورود در این بازه‌ی زمانی ثابت است، و داریم

$$t_i = t_{i-1} - \ln(1-u) / b_k$$

که به ازای تمام قطعات $b_j = b$ و $a_j = 0$ ، برای تعیین T_j به همان تکنیک استاندارد تبدیل معکوس برای فرایند پوآسون با نرخ ورود ثابت می‌رسیم. البته T_j می‌تواند از نقطه‌ی انتهایی پاره‌خط، مثلًاً t_k تجاوز کند. توجه کنید که

$$\begin{aligned} \Lambda(t_{i-1}, t_i) &= \Lambda(t_{i-1}, t_k) + \Lambda(t_k, t_i) \\ \text{ولذا بنابر معادله‌ی (۴)} \end{aligned}$$

$$-\ln(1-u) = -\ln(1-u_k) - \ln(1-u')$$

در اینجا u_k مقدار u به ازاء $t_k = t_i$ است. و از این رابطه به

دست می‌آوریم

$$u' = (u - u_k) / (1 - u_k)$$

در عبارت (۲) و حل آن نسبت به t_i به دست آورد. در معادله (۳)، u یک عدد تصادفی با توزیع یکنواخت بین 0 و 1 است. از معادلات (۱) و (۲) و (۳) نتیجه می‌شود:

$$-\ln(1-u) = \Lambda(t_{i-1}, t_i) \quad (4)$$

که چگونگی ارتباط جواب به $\lambda(t)$ را نشان می‌دهد.

در این مقاله، تابع ورود را پیوسته و قطعه به قطعه خطی مانند شکل (۲) در نظر می‌گیریم. تابع نرخ ورود به وسیله‌ی نقاط ابتدا و انتهایی پاره‌خطها، یعنی نقاط (t_0, λ_0) ، (t_1, λ_1) ، (t_2, λ_2) ، (t_3, λ_3) و (t_4, λ_4) و نظایر اینها مشخص می‌شود. هر یک از این پاره‌خطها، مثلًاً زمین پاره‌خط به صورت $(a_j t + b_j)$ است، که در آن a_j و b_j به ترتیب شبیه و عرض از مبدأ هستند و به وسیله‌ی نقاط ابتدا و انتهایی (t_{j-1}, λ_{j-1}) و (t_j, λ_j) محاسبه می‌شوند. تابع نرخ ورود، تابعی پیوسته و قطعه به قطعه خطی است.

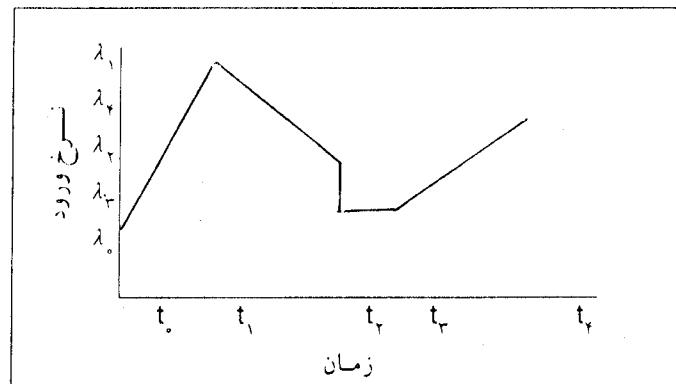
بنابر معادله‌ی (۱)، در محدوده‌ی هر پاره‌خط مثلًاً پاره‌خط k ام، داریم

$$\Lambda(t_{i-1}, t_i) = \int_{t_{i-1}}^{t_i} (a_k t + b_k) dt$$

یا:

$$\Lambda(t_{i-1}, t_i) = (a_k / 2)(t_i^2 - t_{i-1}^2) + b_k(t_i - t_{i-1})$$

با فرض آن که T_i در داخل این محدوده قرار دارد، با استفاده از



شکل ۲: یک تابع نرخ ورود قطعه به قطعه خطی

۲) با فرض آن که t_{i-1} در k -امین بازه قرار داشته باشد،

عبارت زیر را محاسبه می‌کنیم

$$u_k = 1 - \exp[-(a_k / 2)(t_k^* - t_{i-1}^*) - b_k(t_k - t_{i-1})]$$

$$\begin{aligned} t_i &= (-b_{k+1} + \sqrt{b_{k+1}^2 + a_{k+1}^2 t_k^* + 2a_{k+1}b_{k+1}t_k}) \\ &\quad - 2a_{k+1} \ln(1 - u') / a_{k+1} \end{aligned}$$

وقتی $a_{k+1} = 0$ است، عبارت بالا به فرایند ورود پوآسون قطعه به قطعه ثابت، تقلیل می‌یابد.

۳) اگر $u \leq u_k$ آنگاه، وقتی $a_k = 0$ و $a_{k+1} \neq 0$ ، به ترتیب از

$$t_i = (-b_k + \sqrt{b_k^2 + a_k t_{i-1}^* + 2a_k b_k t_{i-1}})$$

$$- 2a_k \ln(1 - u) / a_k$$

و

$$t_i = t_{i-1} - \ln(1 - u) / b_k$$

برای توقف استفاده می‌کنیم.

۴) اگر $u > u_k$ آن گاه با قرار دادن

$$u = (u - u_k) / (1 - u_k),$$

$$t_{i-1} = t_k,$$

$$k = k + 1$$

و استفاده از u_k به موجب کل پاره خط، به مرحله (۳) باز می‌گردیم.

به منظور استفاده‌ی پیاپی از الگوریتم فوق، می‌توان مقدار مطلوب u' (برابر u در مرحله (۳)) را محفوظ نگهداشته و

به طور کلی، برای محاسبه‌ی زمان ورود متقاضی بعدی، t_i ، ابتدا پاره خط مربوط را مشخص کرده، سپس زمان ورود را محاسبه می‌کنیم. برای سهولت انجام این کار، بهتر است قبل از اعمال الگوریتم تولید متغیر، ابتدا مقادیری از u را محاسبه کنیم که فواصل زمانی ورود را به اندازه‌ی طول پاره خط ایجاد می‌کنند، یعنی:

$$u_j = 1 - \exp[-(a_j / 2)(t_j^* - t_{j-1}^*) - b_j(t_j - t_{j-1})].$$

حال فرایند تعیین T را به شرط معلوم بودن t_{i-1} به صورت زیر ارایه می‌دهیم

۱) u را به صورت نمونه‌ای از توزیع یکنواخت در بازه‌ی $(0, 1)$ به دست می‌آوریم.

می‌کیم. مثلاً چنانچه $u = 0/5$ ، آنگاه:

$$T_i = (-1 + \sqrt{1 + 100(1/96) + 20(1/4)}) - 20 \ln(0/5)/10 = 1/446$$

پس فاصله‌ی زمانی تا ورود متقاضی بعدی
 $1/446 - 1/4 = 0/046$
 ساعت، یا $2/76$ دقیقه است.

از طرف دیگر، اگر عدد تصادفی تولید شده از $0/7878$ باشد، آن گاه برای تعیین احتمال باقیمانده پس از رسیدن به انتهای اولین پاره خط یعنی u جدید، از u مرحله‌ی چهارم الگوریتم استفاده می‌کیم. با فرض آن که عدد تصادفی اصلی $0/9$ باشد، آنگاه:

$$u' = 0/5287 = 0/7878/(1 - 0/7878) = 0/9 - 0/7878$$

از آن جا که به ازای $2 = r$ (ناحیه‌ی ثابت نمودار T_i) را با $e^{-16} = r$ از u' خیلی بزرگتر است، T_i را با استفاده از قطعه‌ی دوم به دست می‌آوریم. شبیه‌خط دوم صفر است، لذا از معادله‌ی ساده‌تر مرحله‌ی سوم با $1/5 = t_{i-1}$ استفاده می‌کنیم. به صورت عددی $1/547 = 1/5 - \ln(1 - 0/5287)$ است؛ پس در این مثال، عدد تصادفی $0/9$ فاصله‌ی زمانی مراجعت را برابر $147/10$ ساعت ($8/82$ دقیقه) نشان داده است.

۵ نتیجه

فرایند ورود پوآسون زمان متغیر می‌تواند کاربردهای وسیعی به ویژه در آن دسته از سیستمهای سرویس‌دهی که مراجعه بر اساس عادت و دید افراد تغییر می‌کند، داشته باشد. فرایندهای ورود زمان‌وابسته، در سیستمهای تولیدی که در آن هر روزه چرخه‌ی مشخصی تکرار می‌شود نیز اتفاق می‌افتد.

تابع نرخ قطعه به قطعه خطی انعطاف‌پذیرتر از نرخ ورود قطعه به قطعه ثابت است، هرچند شامل محاسبات پیچیده‌تری

در مرحله‌ی (۲) را برابر $u'_{j(k)} - u_{j(k)}$ قرار داد. که در آن $u'_{j(k)}$ همان زمانی برای کل پاره خط شامل t_{i-1} منهای u به است.

هرچند الگوریتم فوق بر ادامه‌ی وابستگی به زمان تا آینده‌ی نامتناهی دلالت دارد، اما عملاً وابستگی زمانی به صورت چرخشی است. مانند وقتی که تابع نرخ زمان وابسته پس از هر ساعت یا هر روز تکرار می‌شود. در این حالت، فرایند تولید می‌تواند با توابع نرخ، چرخش به عقب داشته باشد.

۴ مثال عددی

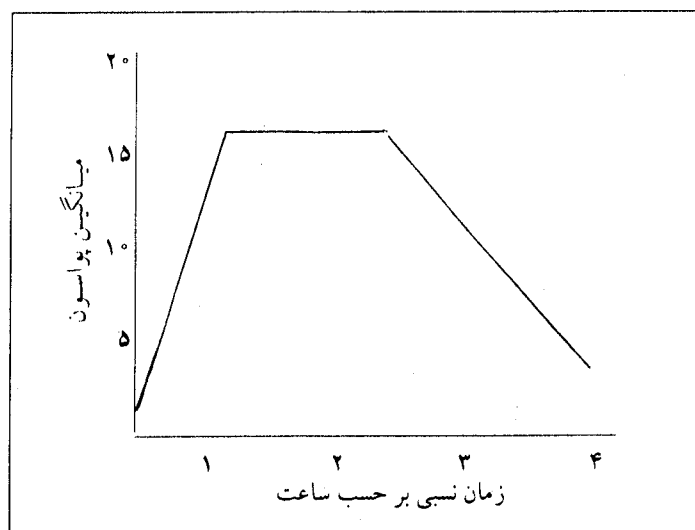
سرویس دهنده‌ای در ساعت $10:00$ صبح (t_0) شروع به کار کرده و تا ساعت $14:30$ (t_2) به کار خود ادامه می‌دهد. در آغاز کار، نرخ ورود پوآسونی (λ_0) یک نفر در ساعت است، اما به تدریج افزایش یافته به طوری که در ساعت $t_1 = 11:30$ به 16 نفر در ساعت می‌رسد (λ_1). از ساعت $t_2 = 12:30$ به بعد نرخ ورود سیر نزولی بخود گرفته و در ساعت $14:30$ به 4 نفر در ساعت می‌رسد (λ_2). نمودار نرخ ورود نسبت به زمان را در شکل (۳) نشان داده‌ایم. معادلات پاره خط‌های شکل (۳) عبارتند از:

$$\lambda(t) = \begin{cases} 10t + 1 & 0 \leq t \leq 1/5 \\ 16 & 1/5 \leq t \leq 2/5 \\ -6t + 31 & 2/5 \leq t \leq 4/5 \end{cases}$$

فرض کنید اکنون ساعت $11:24$ است، یعنی بر حسب ساعت شبیه‌سازی ساعت $1/4$ است. پس از مرحله‌ی دوم الگوریتم

$$u_1 = 1 - e^{-5(2/25 - 1/96)} = 0/1 = 0/7878$$

اگر عدد تصادفی بعدی کوچکتر از $0/7878$ باشد، آنگاه برای تعیین زمان ورود متقاضی بعدی از مرحله‌ی سوم استفاده



شکل ۳: نرخ ورود در مثال عددی

روش تولید ورود پوآسون زمان متغیر، با استفاده از تبدیل معکوس، نسبت به روش پذیرش یا رد، تنها در مواردی که انتگرال گیری $\lambda(t)$ مشکل بوده، یا وقتی که فواصل زمانی رخداد وقایع، قطعات بسیاری را در بر می‌گیرند، کندر است. البته باید یادآوری کنیم که روش تبدیل معکوس امکان کاهش واریانس را میسر می‌سازد.

است. پاره خطها را می‌توان از روی برآوردهای گذشته‌ی نرخ ورود پوآسون در فواصل کوتاه به دست آورد. هرچند اشکال پیچیده‌تر تابع نرخ ورود قابل ارایه است، اما برآورد آنها کمتر قابل استفاده است و چنین به نظر می‌رسد که تابع قطعه به قطعه خطی عملأً بهترین مصالحه را بین انعطاف‌پذیری و کاربردی بودن فراهم می‌آورد.

مراجع

- [1] Albin, S. L. ,*On the Poisson Approximations for Super Arrival Processes in Queues*, Management Science , 28, (1982), 126-137.
- [2] Bartly, P. , Fox, B. L. , and Schrage, L. E. , *A Guide to Simulation*, Springer-Verlag, New York (1983).
- [3] Cinlar, E. , *Superposition of Point Processes. In Stochastic Point Process : Statistical analysis , theory and applications*, Wiley, New York (1972), 549-606.
- [4] Kamminsky, F. L. and Rumpf, D. L. , *Simulation Nonstationary Poisson Processes: a comparison of alternatives including the correct approach*, Simulation, 29:1, (1977), 17-20.
- [5] Law, A. M. and Kelton W. D. , *Simulation Modeling and Analysis*, 2nd ed., New York, McGraw-Hill (1991).

- [6] Leemis, L. , *Seven Habits of Highly Successful Input Modelers*, Proceedings of the 1997 Winter Simulation Conference, (1997), ed. S. Andradottir et al.
- [7] Lewis, P. A. W. and Shedler, G. S. , *Simulation of Nonhomogeneous Processes by Thining*, Naval Research Logistics Quarterly, 26, (1979), 403-414.
- [8] Pidd, M. , *Computer Simulation in Management Science*, 4th ed., John Wiley & Sons, (1998).
- [9] Schmeiser, B. W. , *Random Variate Generator: a survey*. In *Simulation with Discrete Models: A State-of-the-Art view*, From the 1980 Winter Simulation Conference, Institute of Electrical and Electronics Engineering, Inc, New York, (1980), 79-104.

خلاصه وضعیت چاپ مقاله در ۷ نشریه علمی آمار

نام نشریه	سال	چاپ شده	تعداد مقالات	میانگین مدت پذیرش (ماه)	میانگین مدت چاپ (ماه)	انحراف معیار چاپ (ماه)
The Annals of Statistics	۱۹۹۰-۱۹۹۳	۶۷۹	۱۹	۳۲	۱۱	۱۱
Applied Statistics	۱۹۹۰-۱۹۹۴	۲۰۹	۱۸	۱۱	۱۱	۱۲
Journal of ASA	۱۹۹۰-۱۹۹۵	۲۶۲	۱۵	۲۷	۹	۹
Journal of Business and Economics Statistics	۱۹۹۰-۱۹۹۵	۲۶۲	۱۵	۲۳	۸	۸
Psychometrika	۱۹۸۹-۱۹۹۶	۲۶۹	۱۵	۲۹	۱۱	۱۲
The American Statistics	۱۹۹۰-۱۹۹۴	۲۸۸	۱۱	۲۱	۷	۸
Journal of Computational and Graphical Statistics	۱۹۹۴-۱۹۹۰	۴۵	۱۱	۱۸	۵	۶

نقل از مقاله:

" Publication Delays in Statistics Journals "

E. T. Bradlow, H. Wainer, Chance, Vol. II-No. 1 (1998)